

# رابطه‌سازی نوین برای روش رهایی پویای جنبشی بر پایه‌ی درونیابی لگرانژ

مرتضی عباسی (کارشناس ارشد)

دانشکده‌ی هندسی عمران، دانشگاه آزاد اسلامی، واحد مشهد

امیرحسین نمادچی (کارشناس ارشد)

دانشکده‌ی هندسی عمران، مؤسسه‌ی آموزش عالی اقبال لاهوری

جواد علامتیان \* (دانشیار)

دانشکده‌ی هندسی عمران، دانشگاه آزاد اسلامی، واحد مشهد

در نوشتار حاضر، الگوریتم نوینی برای روش رهایی پویا با میرلیپی جنبشی ارائه شده است. برای انجام این کار، از درونیابی لگرانژ برای تعیین رابطه‌های تکراری رهایی پویا استفاده شده است. بنابراین، رابطه‌سازی روش رهایی پویا، بدون نیاز به محاسبه‌ی سرعت‌های گردی و فقط بر اساس تغییرمکان‌های گام‌های پیاپی به دست می‌آید. همچنین، روش تکرارهای توانی برای تعیین کمیت نسبت گام زمانی بهینه به کار می‌رود. باید دانست، گام زمانی بهینه نیاز به بازگذاری تحلیل، که از دشواری‌های اصلی روش رهایی پویای جنبشی است، را از بین می‌برد. برای ارزیابی کارایی و عملکرد روش پیشنهادی از تحلیل غیرخطی چندین خرپا و قاب استفاده و نتایج با دیگر شیوه‌های متداول رهایی پویا مقایسه شده‌اند. نتایج عددی شان می‌دهند نرخ همگرایی روش رهایی پویای جنبشی پیشنهادی بیشتر از شیوه‌های متداول است.

**واژگان کلیدی:** روش رهایی پویای جنبشی، درونیابی لگرانژ، شیوه‌ی تکرار توانی، تحلیل غیرخطی.

## ۱. مقدمه

رهایی پویا، پاسخ بدون نیاز به برپا کردن وارون ماتریس سختی به دست می‌آید. متداول‌ترین الگوی رابطه‌سازی در روش رهایی پویا، انتقال سامانه‌ی استاتیکی ۱ به یک محیط دینامیکی مجازی است:<sup>[۱]</sup>

$$[\mathbf{M}] \{ \ddot{\mathbf{D}} \} + [\mathbf{C}] \{ \dot{\mathbf{D}} \} + [\mathbf{K}] \{ \mathbf{D} \} = \{ \mathbf{P} \} \quad (2)$$

که در آن،  $[\mathbf{M}]$  و  $[\mathbf{C}]$  به ترتیب، ماتریس‌های جرم و میرلیپی سامانه‌ی دینامیکی مجازی هستند و برای سادگی و صریح شدن محاسبه‌ها، قطعی فرض می‌شوند. در روش رهایی پویا، تغییرات بار خارجی در هر نو تأثیر پذیرش می‌شود. براین اساس، طبق اصل بنیادی دینامیک سازه‌ها، پاسخ حالت پایدار سامانه‌ی پویای ساختگی معادله‌ی ۲ برای پاسخ دستگاه معادله‌ی ۱ خواهد بود؛ چرا که میرلیپی مجازی به تدریج سبب از بین رفتن نیروهای نامیزان می‌شود. نیروی نامیزان کمیتی برای تفاوت حاصل از نیروهای خارجی و داخلی سیستم است. چالش‌های اصلی در این رویکرد، ارزیابی و تعیین عامل‌های میرلیپی و جرم ساختگی است؛ به گونه‌یی که با کمترین تعداد تکرار بتوان به پاسخ حالت پایدار دست یافت. بر پایه‌ی رابطه‌ی ۲، روش‌های رهایی پویا را می‌توان در دو دسته‌ی لرج و جنبشی دسته‌بندی کرد. با فرض میرلیپی مجازی برای سامانه‌ی  $(\mathbf{O}) \neq (\mathbf{C})$ ، روش رهایی پویای لرج<sup>۲</sup> در دسترس  $(\mathbf{C})=[\mathbf{O}]$  فراز می‌گیرد. اگر سامانه‌ی دینامیکی مجازی بدون میرلیپی فرض شود  $(\mathbf{O})=[\mathbf{C}]$

روش‌های خانواده‌ی رهایی پویا برای دامنه‌ی گستره‌ی از تحلیل‌ها، شامل تحلیل‌های استاتیکی و دینامیکی و برای حل دستگاه معادله‌های هم‌زمان به صورت رابطه‌ی ۱ به کار می‌روند:

$$[\mathbf{S}] \{ \mathbf{D} \} = \{ \mathbf{P} \} \quad (1)$$

که در آن،  $[\mathbf{S}]$ ،  $\{ \mathbf{P} \}$  به ترتیب: ماتریس سختی سامانه، بردارهای تغییرمکان و بارهای گره‌یی خارجی هستند. فرایندهای رهایی پویا با اجرای چندین تکرار با الگوی سعی و خطأ، پاسخ دستگاه ۱ را در دسترس قرار می‌دهند (بردار تغییرمکان‌های گره‌یی). روش‌هایی مذکور صریح هستند و پاسخ، فقط با محاسبات برداری به دست می‌آید. به سخن دیگر، هیچ‌گونه عملیات ماتریسی شامل برپا کردن وارون ماتریس سختی مورد نیاز نیست. در ادبیات فنی روش رهایی پویا، منظور از بی‌نیازی به عملیات ماتریسی، اجرای گام‌ها بدون محاسبه‌ی وارون ماتریس سختی است. خاطر نشان می‌سازد برپا کردن وارون ماتریس سختی، که در روش‌های متداول مانند شیوه‌های نیوتن - رافسونی<sup>۱</sup> انجام می‌شود، بسیار دشوار و پرهزینه است. در روش

\* نویسنده مسئول  
تاریخ: دریافت ۱۰/۶/۱۳۹۸، اصلاحیه ۷/۱۰/۱۳۹۸، پذیرش ۲۹/۱۰/۱۳۹۸

DOI:10.24200/J30.2020.53836.2603

روش رهایی پویای جنبشی<sup>۳</sup> به دست می‌آید:

$$(3) \quad [M] \{ \ddot{D} \} + [K] \{ D \} = [P]$$

دانست که در فرایندهای تکراری در هرگام، خطاهای عددی ناشی از گرد کردن پدید می‌آیند. در اینجا منظور از پایداری عددی، کران دار بودن رشد خطاهای ذکر شده است، به گونه‌ی که از وقوع خطاهای سریز عددی<sup>۱۲</sup> جلوگیری شود. در پژوهشی دیگر، از میرایی ادامه‌دار جنبشی برای ارزیابی نزخ همگرایی روش رهایی پویا استفاده شده است.<sup>[۲۳]</sup> همچنین، با تخمین بسامد طبیعی، گام زمانی مناسب برای بهبود نزخ همگرایی پیشنهاد شده است.<sup>[۲۴]</sup>

در نوشتار حاضر، یک شیوه‌ی نوین برای روش رهایی پویای جنبشی ارائه شده است. برای انجام این کار، نخست از توابع درون‌یاب لاگرانژی برای رابطه‌سازی تکرارهای روش رهایی پویا استفاده شده است. به سخن دیگر، درون‌یابی لاگرانژ<sup>۱۳</sup> سه نقطه‌ی بی جایگزین شیوه‌ی تفاوت‌های محدود شده است. باید دانست استفاده از شیوه‌ی تفاوت‌های محدود مرکزی سبب شده است سرعت و شتاب سازه در رابطه‌سازی وارد شوند. همچنین، استفاده از چنین روش‌هایی سبب پدید آمدن مرحله‌ی میان‌گام در رابطه‌سازی رهایی پویا می‌شود. برای برطرف کردن کاستی‌های ذکر شده، درون‌یابی لاگرانژ پیشنهاد شده است. با استفاده از درون‌یابی لاگرانژ، نیازی به محاسبه‌ی سرعت و شتاب سازه نیست. همچنین، مرحله‌ی میان‌گام در تکرارهای رهایی پویا حذف خواهد شد.

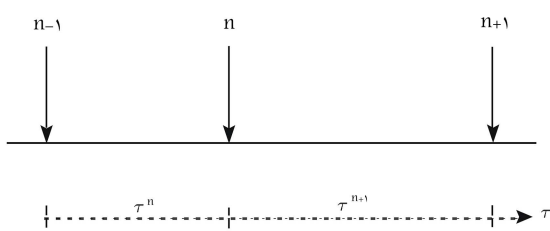
با تحلیل خطای درنوهای پیاپی، عامل جرم در دسترس قرار می‌گیرد. همچنین، با استفاده از راهکارنوبن در تخمین کوچک ترین بسامد طبیعی سامانه دینامیکی مجازی و حل مستقیم معادله‌ی مشخصه‌ی خطای نسبت گام زمانی بهینه در روش پیشنهادی محاسبه شده است. این گام زمانی، نیاز به بازگاری تحلیل، که از دشواری‌های اصلی روش رهایی پویای جنبشی است، را از بین می‌برد. برای سنجش کارایی رابطه‌سازی پیشنهادی، سازه‌های خربایی و قاب با رفتارهای خطی و ناخطي هندسی تحلیل و سپس نتایج با دیگر شیوه‌های متداول رهایی پویا مقایسه شده‌اند.

## ۲. رابطه‌سازی روش رهایی پویا با استفاده از درون‌یابی لاگرانژی

یکی از متداول ترین شیوه‌های مدل‌سازی عددی در مهندسی، روش درون‌یابی است. روش اجزاء محدود، یک نمونه‌ی باز از کاربردهای ذکر شده است، که بر مبنای درون‌یابی استوار است. در پژوهش حاضر، از شیوه‌ی درون‌یابی لاگرانژ برای رابطه‌سازی روش رهایی پویا استفاده شده است. برای انجام این کار، دو گام پیاپی روش رهایی پویا به صورت شکل ۱ در نظر گرفته می‌شود:

مطابق شکل ۱، در دو تکرار پیاپی از روش رهایی پویا، سه گام  $n-1$ ,  $n$ ,  $n+1$  وجود دارند. با استفاده از روش لاگرانژ می‌توان از سه نقطه‌ی اخیر برای درون‌یابی استفاده کرد. بنابراین، تابع درون‌یاب تغییر مکان از درجه‌ی است.

برای انجام این کار، گام  $n-1$  به عنوان مبدأ زمان ساختگی انتخاب می‌شود.



شکل ۱. دو تکرار پیاپی در روش رهایی پویا.

در رویکرد جنبشی، با توجه به این که معادله<sup>۳</sup> یک سامانه‌ی پایستار را توصیف می‌کند، مجموع کارمایه‌ی نهفته<sup>۴</sup> و جنبشی<sup>۵</sup> سامانه ثابت است و از این رو، نقطه‌ی با پیشینه‌ی کارمایه‌ی جنبشی، بیان گر و ضعیت تعادل پایدار سامانه‌ی استاتیکی خواهد بود؛ چراکه در این لحظه کارمایه‌ی نهفته‌ی سیستم کمینه می‌شود. براین پایه، الگوریتم رهایی پویای جنبشی با دنبال کردن تغییرات کارمایه‌ی جنبشی سامانه در هر لحظه، پاسخ معادله<sup>۱</sup> را به دست می‌آورد. باید افزود، به دلیل حذف عامل میرایی از رابطه<sup>۲</sup>، حجم محاسبات در رویکرد رهایی پویای جنبشی کمتر از شیوه‌ی لرج است. با این وجود، روش مزبور نیازمند بازآغازی<sup>۶</sup> در لحظه‌های زمانی با پیشینه‌ی کارمایه‌ی جنبشی است.

رابطه‌سازی روش رهایی پویا بر پایه‌ی قانون دوم ریچاردسون برای حل معادلات دیفرانسیل، توسط فرانکل<sup>۷</sup> بنیان نهاده شد.<sup>[۱]</sup> روش مذکور نخستین بار توسط اتر<sup>۸</sup> (۱۹۶۵)، به کار رفت.<sup>[۲]</sup> یک سال بعد، برای تحلیل قاب پرتال به کار برد شد.<sup>[۳]</sup> در ادامه، این فرایند برای تحلیل استاتیکی شبکه‌های کابلی و مسائل شکل پایه<sup>۹</sup> استفاده شد.<sup>[۴]</sup> این روش محاسباتی با استفاده از کمیت‌های برداری و برنامه‌نویسی ساده، سبب به کارگری حافظه‌ی کمتر نسبت به روش‌های مشابه می‌شود، همچنین سادگی و پایداری نتایج در روش مذکور، آن را به شیوه‌ی مؤثر برای حل مسائل غیرخطی تبدیل کرده است.

تحلیل صفحه‌های مستطیلی دارای تغییر شکل‌های کوچک، بزرگ و همچنین رفتار کمانشی از دیگر کاربردهای روش رهایی پویاست.<sup>[۱۰]</sup> در ادامه، روش رهایی پویای جنبشی، بر مبنای عدم وجود میرایی، معروف شده است.<sup>[۱۱]</sup> از این‌بابی خطا در روش رهایی پویا به یک مسئله‌ی مقدار ویژه منجر شد، که با حل آن رابطه‌ی برای جرم ساختگی به دست آمد.<sup>[۱۲]</sup> همچنین، با بررسی تغییرات کارمایه‌ی جنبشی، رابطه‌ی برای گام زمانی ساختگی به دست آمد.<sup>[۱۳]</sup> از سوی دیگر، بر مبنای عدم وجود میرایی پویا، یک ابزار قوی برای حل معادله دیفرانسیل درجه دوم به شدت غیرخطی است.<sup>[۱۴]</sup> همچنین مقایسه‌ی بر روی تحلیل صفحات خمی با تغییر شکل‌های بزرگ، توسط روش‌های مختلف رهایی پویا صورت گرفت.<sup>[۱۵]</sup>

برای افزایش نزخ همگرایی، گام زمانی ساختگی تصحیح شد.<sup>[۱۶]</sup> همچنین، روش رهایی پویا برای تحلیل‌های دینامیکی عددی صحیح به کار رفته است.<sup>[۱۷]</sup> از سوی دیگر، بر کمانشی سازه‌های متقارن و نامتقارن، با روش رهایی پویا با محاسبات برداری به دست می‌آید.<sup>[۱۸]</sup> پیماش ناحیه‌های بازگشتی در مسیر ایستایی سازه از دیگر توانایی‌های روش مذکور است.<sup>[۱۹]</sup> روش نوین بدون نیاز به ماتریس میرایی و سرعت بر پایه‌ی رهایی پویا معمول ابداع شد، که این روش در بارهای متغیر و رفتار غیرخطی زیاد سامانه، عملکرد مؤثری به نمایش گذاشت.<sup>[۲۰]</sup> افزون بر این‌ها، می‌توان هسته‌ی الگوریتم رهایی پویا را بر روی پردازنده‌های گرافیکی اجرا کرد، که این نکته سبب عملکرد سریع‌تر روش مذکور برای مدل‌های بزرگ مقیاس می‌شود.<sup>[۲۱]</sup> از سوی دیگر، در پژوهش رومبتوس<sup>۱۰</sup> و همکاران<sup>۱۱</sup> (۲۰۱۷)، روش نیوتون-رافسون با فن رهایی پویا مقایسه شده است.<sup>[۲۲]</sup> در پژوهش علی و همکاران<sup>۱۲</sup> (۲۰۱۷)، نیز فرض غیرواقعی حرکت بدون اصطکاک المان‌های کابلی به کمک رهایی پویا تصحیح شد.<sup>[۲۳]</sup> همچنین، نزخ همگرایی روش رهایی پویا با استفاده از الگوریتم لانکسوز<sup>۱۱</sup> بهبود یافت.<sup>[۲۴]</sup> با کمینه‌سازی نزخ خطای در دو گام متوالی، روشی به منظور کاهش زمان تحلیل و پایداری عددی، برای روش رهایی پویای لرج بررسی شد.<sup>[۲۵]</sup> باید

رابطه‌ی ۱۳، معادله‌ی تکراری روش رهایی پویای جنبشی پیشنهادی را نشان می‌دهد. در شیوه‌ی مذکور، کمیت‌های دو گام پیشین به کار می‌رond. حال آن‌که در الگوریتم‌های متداول رهایی پویای جنبشی، کمیت‌ها در میان گام  $(n + \frac{1}{2})$  استفاده می‌شوند. با استفاده از رابطه‌ی ۱۳، تکرارهای روش رهایی پویای جنبشی پیشنهادی اجرا می‌شود. در رابطه‌ی ۱۳، کمیت‌های جرم ساختگی و نسبت گام زمانی مجھول هستند. این کمیت‌ها به گونه‌ی تعیین می‌شوند که فرایند رهایی پویای پیشنهادی با کمترین تعداد تکرار همگرا شود. برای انجام این کار، فرایند تحلیل خطاب رهایی تکرارهای رهایی پویایی پیشنهادی انجام می‌پذیرد. شکل نموی رابطه‌ی ۱۳ به صورت رابطه‌ی ۱۴ نوشته می‌شود:

$$dD_i^{n+1} = (1 + \alpha) dD_i^n - \alpha dD_i^{n-1} + \frac{(\tau^n)^r}{2\alpha(1 + \alpha)} \frac{dr_i^n}{m_{ii}} \quad (14)$$

برای سنجش خطاب در تکرارهای رهایی پویا، رابطه‌ی خطاب رهایی تغییرمکان در تکرارهای پیاپی به صورت رابطه‌ی ۱۵ در نظر گرفته می‌شود:

$$dD_i^{n+1} = k dD_i^n, \quad D_i^{n-1} = \frac{1}{k} dD_i^n \quad (15)$$

که در آن، کمیت  $k$  عامل خطاست، که نزخ تغییرات نمو تغییرمکان را در دو تکرار پیاپی نشان می‌دهد.<sup>[۱]</sup> شرط لازم برای همگرایی تکرارهای روش رهایی پویا این است که عامل خطاب بین  $0$  و  $1$  قرار گیرد. برای افزایش نزخ همگرایی، باید عامل خطاب به صفر نزدیک شود. برای اساس، کمیت‌های جرم، میزانی و گام زمانی در روش رهایی پویا به گونه‌ی تعیین می‌شوند که عامل خطاب بین  $0$  و  $1$  قرار گیرد.<sup>[۱]</sup> از سوی دیگر، با استفاده از تعریف مقدار ویژه می‌توان نمو نیروی نامیران را به صورت رابطه‌ی ۱۶ نوشت:

$$\frac{(\tau^n)^r dr_i^n}{m_{ii}} = - \frac{(\tau^n)^r df_i^n}{m_{ii}} = \lambda_i dD_i^n \quad (16)$$

که در آن  $\lambda$  مقدار ویژه‌ی  $\lambda$  سامانه‌ی دینامیکی مجازی است. با جایگذاری رابطه‌های ۱۵ و ۱۶ در معادله‌ی ۱۴، معادله‌ی ۱۷ به دست می‌آید:

$$\left( -k^r + \left( \alpha - \frac{\alpha(\alpha+1)}{2} \lambda_i + 1 \right) k - \alpha \right) dD_i^n = 0 \quad (17)$$

در نتیجه، معادله‌ی مشخصه‌ی روش رهایی پویای جنبشی پیشنهادی به صورت رابطه‌ی ۱۸ است:

$$-k^r + \left( \alpha - \frac{\alpha(\alpha+1)}{2} \lambda_i + 1 \right) k - \alpha = 0 \quad (18)$$

رابطه‌ی اخیر معادله‌ی مشخصه‌ی روش رهایی پویا بر اساس درونیابی لاگرانز را نشان می‌دهد، که همانند رابطه‌ی مشخصه‌ی روش رهایی پویای جنبشی است، که در نوشتار علمیان  $(۲۰\ ۱۲)$ <sup>[۱]</sup> ارائه شده است. برای اساس، کمیت جرم ساختگی مطابق رابطه‌ی ۱۹ تعیین می‌شود:<sup>[۱]</sup>

$$m_{ii}^n = \frac{(\tau^n)^r}{\lambda_{\max}} \sum_{j=1}^q |S_{ij}| \quad i = 1, 2, \dots, q \quad (19)$$

که در آن  $\lambda_{\max}$  بزرگ‌ترین مقدار ویژه‌ی سامانه‌ی دینامیکی  $3$  است، که پیشتر به صورت رابطه‌ی ۲۰ رابطه‌سازی شده است:<sup>[۱]</sup>

$$\lambda_{\max} = \frac{2(1 + \sqrt{\alpha})^r}{\alpha(\alpha + 1)} \quad (20)$$

در نتیجه، تابع درونیاب برای عامل مجھول بردار تغییرمکان به صورت رابطه‌ی ۴ خواهد بود:

$$D(\tau) = b_1 \tau^r + b_2 \tau + b_3 \quad (4)$$

که در آن،  $b_1$ ,  $b_2$  و  $b_3$  ثابت‌هایی هستند که برای تعیین آنها از نقاط ثابت درونیابی استفاده می‌شود شکل ۱ با استفاده از معادله‌های  $5$  الی  $7$ ، می‌توان ضربه‌های  $b_1$ ,  $b_2$  و  $b_3$  را به دست آورد:

$$D(0) = D^{n-1} \quad (5)$$

$$D(\tau^n) = D^n \quad (6)$$

$$D(\tau^n + \tau^{n+1}) = D^{n+1} \quad (7)$$

با جایگزینی ضربه‌های مذکور در رابطه‌ی ۴، تابع درونیاب تغییرمکان به دست می‌آید:

$$D(\tau) = \frac{(\tau^n - \tau)(\tau^n + \tau^{n+1} - \tau)}{\tau^n(\tau^n + \tau^{n+1})} D^{n-1} + \frac{\tau(\tau^n + \tau^{n+1} - \tau)}{\tau^n \tau^{n+1}} D^n - \frac{\tau(\tau^n - \tau)}{\tau^{n+1}(\tau^{n+1} + \tau^n)} D^{n+1} \quad (8)$$

در رابطه‌ی بنیادی روش رهایی پویای جنبشی معادله‌ی ۳، شتاب سامانه در محیط دینامیکی مجازی وجود دارد. برای به دست آوردن شتاب، باید از رابطه‌ی ۸ نسبت به عامل زمانی  $\tau$  مشتق گرفت. دیگر کمیت‌های موجود در رابطه‌ی ۸، شامل  $\tau^n$ ,  $D^{n+1}$ ,  $D^n$ ,  $D^{n-1}$  و  $D^{n+2}$  ثابت‌اند و مشتق‌های آنها صفر می‌شوند. از این رو، با ۲ بار مشتق‌گیری از رابطه‌ی ۸، شتاب سازه به صورت رابطه‌ی ۹ به دست می‌آید:

$$\ddot{D}^n = \frac{2}{\tau^n(\tau^n + \tau^{n+1})} D^{n-1} - \frac{2}{\tau^n \tau^{n+1}} D^n + \frac{2}{\tau^{n+1}(\tau^n + \tau^{n+1})} D^{n+1} \quad (9)$$

روشن است که در روش درونیابی با  $3$  نقطه، شتاب سازه در  $2$  تکرار پیاپی ثابت است. چنانچه، نسبت گام زمانی بین دو تکرار پیاپی،  $\alpha$ ، به صورت رابطه‌ی  $10$  تعریف شود:

$$\tau^{n+1} = \alpha \tau^n \quad (10)$$

شتاب در گام زمانی  $n$  ام از رابطه‌ی ۱۱ به دست می‌آید:

$$\ddot{D}^n = \frac{2}{(\tau^n)^r} \frac{1}{\alpha(\alpha+1)} (\alpha D^{n-1} - (\alpha+1) D^n + D^{n+1}) \quad (11)$$

از سوی دیگر، معادله‌ی بنیادی روش رهایی پویای جنبشی برای درجه‌ی آزادی  $n$  در گام  $n$  ام به صورت رابطه‌ی ۱۲ است:

$$m_{ii}^n \ddot{D}_i^n = p_i^n - f_i^n = r_i^n \quad (12)$$

که در آن  $f_i^n$  و  $r_i^n$  به ترتیب، نیروی داخلی و نیروی نامیران درجه‌ی  $n$  در تکرار  $n$  هستند. با جایگذاری شتاب از رابطه‌ی ۱۱ در معادله‌ی ۱۲، تغییرمکان گام  $n+1$  بر حسب جایه‌جایی‌های دو مرحله‌ی پیشین  $(n)$  و  $(n-1)$  به دست می‌آید:

$$D_i^{n+1} = (1 + \alpha) D_i^n - \alpha D_i^{n-1} + \frac{(\tau^n)^r}{2\alpha(1 + \alpha)} \frac{r_i^n}{m_{ii}} \quad (13)$$

را به دنبال دارد. در ادامه، ماتریس انتقال یافته‌ی [T]، به صورت رابطه‌ی ۲۳ تعریف می‌شود:

$$[T] = [L]^{-T} [S] [L]^{-1} - \sigma [I] \quad (23)$$

که در آن،  $\sigma$  عامل انتقال است و برابر  $\frac{1 + \sqrt{\alpha}}{\alpha(1 + \alpha)}$  پنداشته می‌شود. با استفاده از روش تکرارهای توانی و اجرای آن بر روی ماتریس [T]، می‌توان تخمین مناسبی از کمترین مقدار ویژه‌ی سامانه‌ی دینامیکی مجازی را به دست آورد. باید دانست که با افزایش تعداد تکرارهای روش توانی، دقت محاسبه‌ها افزایش می‌یابد و تخمین بهتری از کمترین مقدار ویژه‌ی سامانه‌ی دینامیکی مجازی به دست می‌آید. با وجود این، در روش پیشنهادی فقط یک گام تکرار توانی انجام شده است. دلیل این موضوع، کاهش حجم محاسبات و حفظ سادگی روش است.

### ۳. الگوریتم رهایی پویا با درون‌یابی لارگانز

با توجه به رابطه‌سازی انجام شده بر اساس درون‌یابی لارگانز و ترکیب آن با شیوه‌ی توانی انتقال یافته، می‌توان الگوریتم نوینی برای روش رهایی پویا پیشنهاد کرد. گام‌های الگوریتم پیشنهادی به این صورت هستند:

۱) در نظر گرفتن شرایط نخستین به صورت:

$$e_R \rightarrow 10e^{-4}, e_K \rightarrow 10e^{-11}, \tau_n \rightarrow 1, \alpha \rightarrow 1,$$

$$k \rightarrow 0, \{D\}^{-1} \rightarrow \{O\}, \{\nu\} \rightarrow \{I\}$$

$$k \rightarrow k + 1, n \rightarrow 0, \{D\}^n \{D\}^{n-1} \quad (2)$$

$$3) \text{ برپایی ماتریس سختی و محاسبه نیروی نامیران از رابطه‌ی } 12$$

$$4) \text{ تغییر } n \rightarrow n + 1$$

$$5) \text{ اگر } e_R \leq ||R^n|| \text{ به گام } 12 \text{ بروید،}$$

۶) ساخت ماتریس جرم ساختگی با استفاده از رابطه‌ی:

$$m_{ii}^n = (\tau^n)^{\frac{\alpha(1+\alpha)}{2(1+\sqrt{\alpha})}} \sum_{j=1}^q |S_{ij}|$$

$$7) \text{ در نظر گرفتن } \frac{1 + \sqrt{\alpha}}{\alpha(1 + \alpha)} \sigma \text{ و تنظیم } [I] - \sigma^{-1} \text{ که در آن } [L] \text{ تجزیه‌ی چولسکی } [M] \text{ است:}$$

$$1. \{y\} \rightarrow [T] \{v\}, \{y\} \rightarrow \{y\} / \max(|y|)$$

$$2. \text{ محاسبه مقدار } \frac{\{y\}^T [S] \{y\}}{\{y\}^T \{y\}} \rightarrow \omega_{min}^n \text{ و تنظیم مجدد } \omega_{min}^n \rightarrow \{v\} \rightarrow \{y\} \rightarrow \omega_{min+1}^n$$

۸) حل عددی معادله‌ی ۲۱ و به دست آوردن مقدار  $\alpha$

$$9) \text{ تنظیم کردن } \{D\}^{n+1} \rightarrow \{D\}^n \text{ و حل معادله‌ی } 13$$

$$10) \text{ اگر } e_k \leq e_R \left( \{D\}^{n+1} - \{D\}^n \right)^T \left( \{D\}^{n+1} - \{D\}^n \right) \text{ به گام } 12 \text{ بروید،}$$

$$11) \text{ تنظیم } \{D\}^n \rightarrow \{D\}^{n-1} \text{ و رفتون به گام } 3$$

۱۲) چاپ نتایج و رفتون به گام ۲.

ماتریس کارمایه‌ی جنبشی سامانه در هر تکرار را می‌توان بدون استفاده‌ی مستقیم از سرعت، به صورت رابطه‌ی ۲۴ محاسبه کرد:

$$KE = \left( \{D\}^{n+1} - \{D\}^n \right)^T \left( \{D\}^{n+1} - \{D\}^n \right) \quad (24)$$

برای تعیین مقدار گام زمانی بهینه، معادله‌ی ۱۸ در نظر گرفته می‌شود. در حالت کلی با توجه به مقدار مبین ( $\Delta$ )، ریشه‌های معادله‌ی مذکور می‌توانند مقادیر مختلط و یا حقیقی اختیار کنند. برای مقدارهای کوچک‌تر از صفر  $\Delta$ ، ریشه‌های معادله به صورت اعداد مختلط هستند، که بیان‌گر رفتار هارمونیک است. این رفتار مطلوب نیست؛ زیرا به تکرارهای بیشتری باید میرا کردن دامنه نوسان و رسیدن به پاسخ حالت پایدار نیاز خواهد بود. از سوی دیگر، مقدارهای بزرگ‌تر از صفر  $\Delta$ ، نشان‌گر ریشه‌های متمایز حقیقی است و رفتار بیشتر میرا را شبیه‌سازی می‌کند. افزون بر این، دو مقدار حقیقی متمایز برای عامل خطأ، سبب یکنواخت نبودن نزخ همگرایی می‌شود و تعداد تکرارهای همگرایی را افزایش می‌دهد. بر این پایه، حالت بهینه هنگامی است که مقدار مبین معادله‌ی ۱۸ برابر صفر باشد. در این حالت، به دلیل برابر بودن ریشه‌ها، نزخ همگرایی یکنواخت است و از دیدگاه دینامیکی، رفتار میرایی بحرانی شیوه‌سازی می‌شود. خاطر نشان می‌سازد، در حالت میرایی بحرانی، در مقایسه با دیگر حالت‌ها، دامنه نوسان در سریع‌ترین زمان ممکن میرا می‌شود. ایده‌ای اصلی برای تعیین نسبت گام زمانی در روش پیشنهادی، بر پایه‌ی همین اصل استوار است. بنابراین، مقدار بهینه‌ی  $\alpha$  را می‌توان با صفر قرار دادن مبین معادله‌ی ۱۸ به صورت رابطه‌ی ۲۱ به دست آورد:

$$\alpha^* + 2 \left( \frac{\lambda_{\min} - 2}{\lambda_{\min}} \right) \alpha^* + \left( \frac{\lambda_{\min}^* - 8\lambda_{\min} + 4}{\lambda_{\min}^*} \right) \alpha^* - 4 \left( \frac{\lambda_{\min} + 2}{\lambda_{\min}^*} \right) \alpha + \frac{4}{\lambda_{\min}^*} = 0 \quad (21)$$

بر اساس رابطه‌ی ۱۶، کوچک‌ترین مقدار ویژه‌ی سامانه‌ی دینامیکی مجازی با مجدور کوچک‌ترین بسامد طبیعی آن برابر است. بنابراین، مقدار  $\lambda_{\min} = \tau_n^* \left( \frac{s_n}{m_n} \right)_{\min}$  در نظر گرفته شده است، نسبت گام زمانی با تخمین مناسب  $\omega_{\min}$  و حل معادله‌ی ۲۱ به دست می‌آید.

این کار با روش تکرارهای توانی انتقال یافته<sup>۱۴</sup> انجام می‌پذیرد.<sup>[۲۵]</sup> که راهکاری ساده و توانمند برای محاسبه مقدارها و بردارهای ویژه دستگاه دینامیکی است. الگوریتم مزبور، با انتخاب یک بردار نخستین دلخواه و عملیات ساده‌ی ضرب برداری، تخمین بسیار مناسبی از بزرگ‌ترین مقدار ویژه‌ی سامانه را ارائه می‌دهد.<sup>[۲۶]</sup> با توجه به این که از نگره‌ی گرشگورین برای برپایی ماتریس جرم ساختگی استفاده شده است، بزرگ‌ترین مقدار ویژه‌ی سامانه از  $\frac{1 + \sqrt{\alpha}}{\alpha(1 + \alpha)} \omega_{\min}$  تجاوز نخواهد کرد. باید دانست که نگره‌ی دایره‌های گرشگورین، شیوه‌ی تقریبی برای تخمین مقدار ویژه‌ی سامانه‌ی دینامیکی مجازی، به سادگی به دست می‌آید. در ادامه، با برابر قرار دادن عامل انتقال در روش تکرارهای توانی انتقال یافته با مقدار بیشینه بسامد طبیعی سامانه‌ی ساختگی، می‌توان تکرارهای توانی را به همگرایی بهسیوی کمترین مقدار ویژه‌ی سامانه سوق داد.<sup>[۲۷]</sup> برای این کار نخست ماتریس جرم ساختگی تجزیه می‌شود:

$$[M] = [L]^T [L] \quad (22)$$

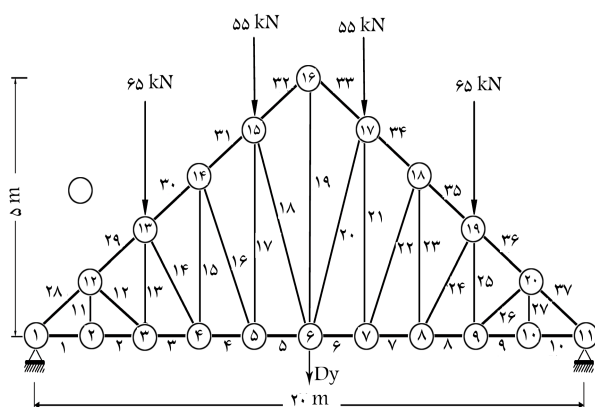
که در آن،  $[L]$  تجزیه‌ی چولسکی ماتریس  $[M]$  است. باید اشاره کرد که در روش رهایی بوا برای حفظ صریح بودن رابطه‌سازی، ماتریس جرم همواره قطری پنداشته می‌شود. از این رو، تجزیه‌ی چولسکی آن به سادگی محاسبه می‌شود و برابر جذر درایه‌های قطری آن است. همچنین، استفاده از تجزیه‌ی چولسکی سبب نگهداری تقارن ماتریس نهایی می‌شود، که کاهش فضای حافظه‌ی مورد نیاز برای ذخیره‌سازی

جدول ۱. شمار تکرارهای همگرایی و زمان تحلیل در خرپای هاو.

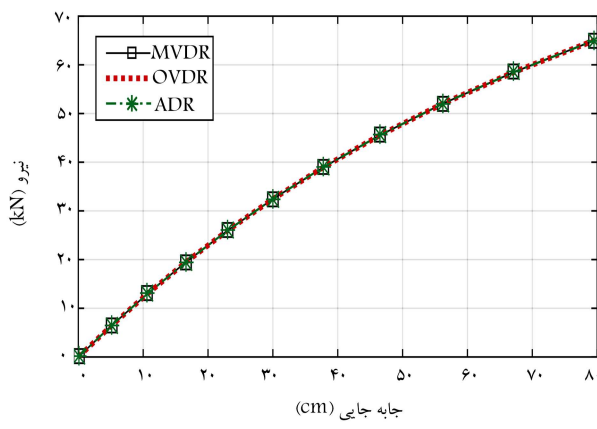
زمان (ثانیه)	مجموع تکرارها	گام بارگذاری										روش
		۱۰	۹	۸	۷	۶	۵	۴	۳	۲	۱	
۳,۶	۲۷۳۸	۴۱۷	۳۸۰	۳۳۹	۳۰۲	۲۷۰	۲۴۳	۲۲۱	۲۰۱	۱۸۵	۱۸۰	MVDR
۳,۵۳	۲۷۴۰	۴۱۷	۳۸۰	۳۳۹	۳۰۲	۲۷۰	۲۴۴	۲۲۱	۲۰۲	۱۸۵	۱۸۰	OVDR
۳,۰۸	۲۱۰۰	۲۶۴	۲۴۸	۲۳۲	۲۱۶	۲۰۳	۱۹۲	۱۸۳	۱۷۵	۱۶۹	۲۱۸	ADR

جدول ۲. شمار تکرارهای همگرایی و زمان تحلیل در گنبد شودل.

زمان (ثانیه)	مجموع تکرارها	گام بارگذاری										روش
		۱۰	۹	۸	۷	۶	۵	۴	۳	۲	۱	
۳۷,۳۴	۳۱۱۰	۲۶۶	۳۲۸	۲۲۲	۳۱۲	۳۰۵	۲۹۹	۲۹۵	۲۹۱	۲۸۹	۲۹۳	MVDR
۳۶,۶۷	۳۱۱۹	۲۶۷	۳۲۹	۲۲۳	۳۱۳	۳۰۵	۳۰۰	۲۹۶	۲۹۲	۲۹۰	۲۹۴	OVDR
۲۰,۰۱	۱۵۰۹	۱۵۴	۱۵۳	۱۵۲	۱۴۸	۱۴۰	۱۳۸	۱۳۷	۱۴۴	۱۵۷	۱۸۶	ADR



شکل ۲. خرپای هاو.



شکل ۳. نمودار بار- تغییرمکان خرپای هاو.

مسیر ایستایی را با دقت مناسبی ارائه داده‌اند. همچنین، تعداد تکرارهای همگرایی و زمان هر تحلیل نیز برای روش‌های مختلف مذکور در جدول ۲ ارائه شده است.

نتایج جدول ۲، نشان می‌دهند که تعداد تکرارهای همگرایی در روش پیشنهادی (ADR) نسبت به روش‌های MVDR و OVDR به ترتیب: ۵۲٪، ۳۶٪ و ۲۳٪ می‌باشد. همچنین، زمان تحلیل در الگوریتم درون‌بایی لاگرانژ (ADR) کاهش یافته است. همچنین، زمان تحلیل در الگوریتم درون‌بایی لاگرانژ (ADR) نسبت به شیوه‌های MVDR و OVDR به ترتیب: ۰٪، ۵۱٪ و ۵۱٪ ثانیه کمتر شده است. از این رو، روش پیشنهادی، عملکرد مناسبی در افزایش نزد همگرایی فرایند رهایی پویا دارد.

در بخش حاضر، برای راستی آزمایی و ارزیابی عملکرد روش پیشنهادی، از نمونه‌های عددی مختلف استفاده شده است. برای انجام این کار، یک برنامه‌ی رایانه‌یی در نرم افزار متلب<sup>۱۵</sup> نوشته شده است، که با آن، عملکرد روش پیشنهادی (ADR)، با دو شیوه‌ی رهایی پویا لزج متناول (OVDR)<sup>[۱۶]</sup> و فرایند رهایی پویای لزج بهبودیافته (MVDR)<sup>[۱۶]</sup> مقایسه شده است. به سخن دیگر، با حل نمونه‌های عددی، سه روش از نظر زمان تحلیل و تعداد تکرارهای همگرایی بررسی شده‌اند. شایان توجه است همه‌ی نمونه‌های عددی با رفتار غیرخطی هندسی تحلیل شده‌اند.

#### ۴. نمونه‌های عددی

در شکل ۲، خرپای دو بعدی،<sup>[۱۷]</sup> با ۳۷ عضو، ۲۰ گره و ۳۶ درجه‌ی آزادی مشاهده می‌شود. در بخش کنونی، ضربی کشسانی و سطح مقطع همه‌ی عضوها به ترتیب، ۴ گیگاپاسکال و  $10^{-3} \times 10^{-3}$  متر مریع هستند. مسیر ایستایی بار - تغییرمکان برای راستای y از گرهی ۶، در شکل ۳ مشاهده می‌شود. بر این اساس، هر سه روش توانسته‌اند پاسخ را با دقت مناسب ارائه دهند. همچنین، شمار تکرارهای همگرایی و زمان هر تحلیل برای روش‌های مختلف در جدول ۱ ارائه شده‌اند.

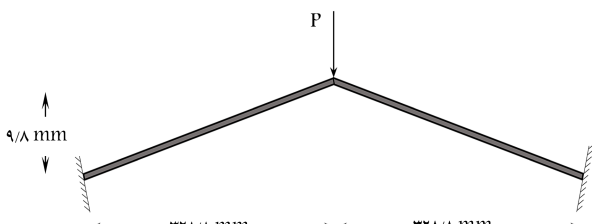
نتایج جدول ۱ نشان می‌دهد که تعداد تکرارهای همگرایی در روش پیشنهادی (ADR) نسبت به روش‌های MVDR و OVDR به ترتیب ۲۳٪، ۳۰٪ و ۲۳٪ می‌باشد. همچنین، زمان تحلیل در الگوریتم درون‌بایی لاگرانژ (ADR) نسبت به شیوه‌های MVDR و OVDR به ترتیب: ۰٪، ۵۲٪ و ۵۱٪ ثانیه کمتر شده است. از این رو، روش پیشنهادی، عملکرد مناسبی در افزایش نزد همگرایی فرایند رهایی پویا دارد.

#### ۲.۴. گنبد شودل

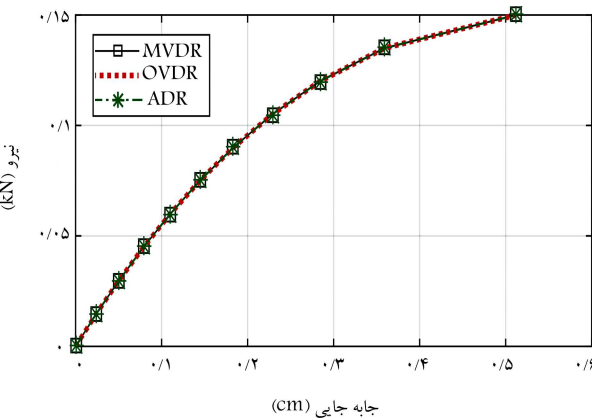
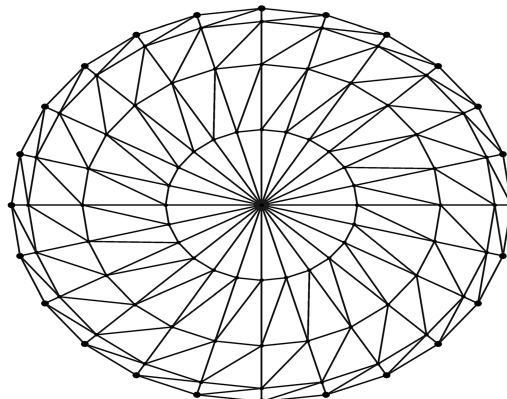
شکل ۴، یک خرپای گنبدی،<sup>[۱۸]</sup> با ۲۶۴ عضو، ۹۷ گره و ۲۱۹ درجه‌ی آزادی را نشان می‌دهد. مقدار کمیت صلبیت محوری (AE) برابر ۶۴۰ مگانیون است. مسیر ایستایی بار - تغییرمکان برای راستای y بالای گنبد، که از تحلیل خرپا با برنامه‌ی رایانه‌یی به دست آمده است، در شکل ۵ مشاهده می‌شود، که مطابق آن سه روش

جدول ۳. شمار تکرارهای همگرایی و زمان تحلیل در قاب توگل.

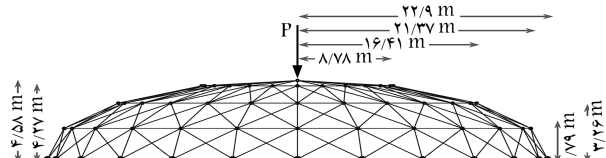
زمان (ثانیه)	مجموع تکرارها	گام بارگذاری										روش
		۱۰	۹	۸	۷	۶	۵	۴	۳	۲	۱	
۷۵,۴۱	۳۵۵۹۶	۱۳۸۸۲	۴۶۱۱	۳۲۸۸	۲۶۶۹	۲۲۹۵	۲۰۳۸	۱۸۵۰	۱۷۰۶	۱۵۹۹	۱۶۵۸	MVDR
۷۴,۶۱	۳۵۵۹۲	۱۳۸۸۰	۴۶۱۱	۳۲۸۸	۲۶۶۹	۲۲۹۴	۲۰۳۸	۱۸۴۹	۱۷۰۶	۱۵۹۹	۱۶۵۸	OVDR
۵۴,۸۳	۲۳۶۲۳	۵۷۲۴	۲۶۸۶	۲۱۷۶	۱۹۳۴	۱۷۹۶	۱۷۱۹	۱۶۸۷	۱۷۰۱	۱۷۷۴	۲۴۲۶	ADR



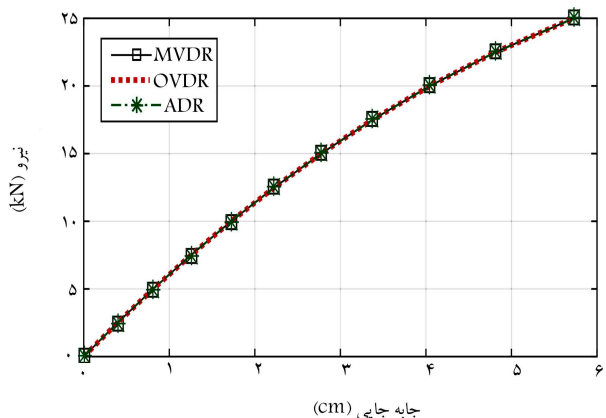
شکل ۶. قاب تاگل.



شکل ۷. نمودار بار - تغییر مکان قاب توگل.



شکل ۴. گنبد شودلر.



شکل ۵. نمودار بار - تغییر مکان رأس گنبد شودلر.

y است. بنابراین، هر سه روش پاسخ‌هایی با دقت مناسب ارائه داده‌اند. همچنین، شمار تکرارهای همگرایی و زمان هر تحلیل برای سه روش در جدول ۳ درج شده‌اند. نتایج جدول ۳، نشان‌دهنده‌ی کاهش تعداد تکرارهای همگرایی در روش پیشنهادی (ADR) نسبت به روش‌های MVDR و OVDR به ترتیب: به مقدارهای ۳۳,۶۴٪ و ۳۳,۶۳٪ است. همچنین، زمان تحلیل در الگوریتم درون‌یابی لگارانز (ADR) نسبت به شیوه‌های MVDR و OVDR به ترتیب: ۲۰,۵۸ ثانیه و ۱۹,۷۸ ثانیه هستند. بنابراین، روش پیشنهادی عملکرد مطلوبی در کاهش داشته است. با توجه به نتایج اخیر، روش پیشنهادی عملکرد مطلوبی در افزایش نرخ همگرایی روش رهایی بوسیله دارد.

#### ۴.۴. خرپای ۷۷ گرهی مسطح

شکل ۸، خرپای ۷۷ گرهی مسطح، [۲۱] با ۲۰۰ عضو، ۷۷ گره و ۱۵۰ درجه‌ی آزادی را نمایش می‌دهد. مدل کشسانی اعضاء خرپای ۷۷ گره با ۲۱۰ گیگاپاسکال است. مسیر ایستایی بار - تغییر مکان برای راستای y از گرهی ۱، در شکل ۹ نشان داده شده است. براین اساس، هر سه روش توانسته‌اند پاسخ را با دقتی مناسب ارائه دهند. همچنین، شمار تکرارهای همگرایی و زمان هر تحلیل برای روش‌های مختلف در جدول ۴ ارائه شده‌اند.

نتایج جدول ۴ نشان می‌دهد که تعداد تکرارهای همگرایی در روش پیشنهادی

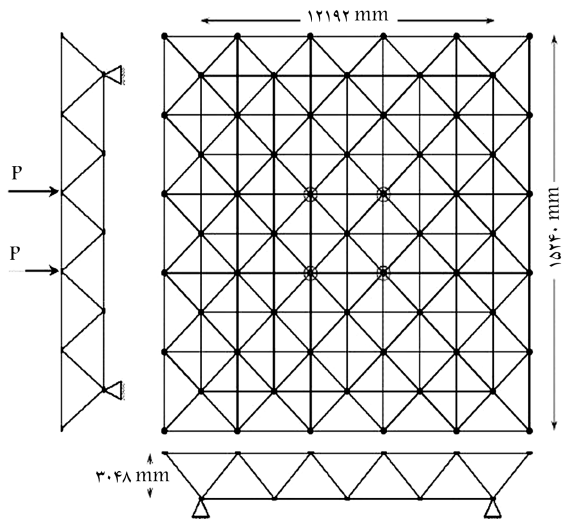
کمتر شده است. بنابراین، روش پیشنهادی عملکردی مناسب در افزایش نرخ همگرایی فریب‌ندازی رهایی پویا دارد.

#### ۳.۴. قاب تاگل

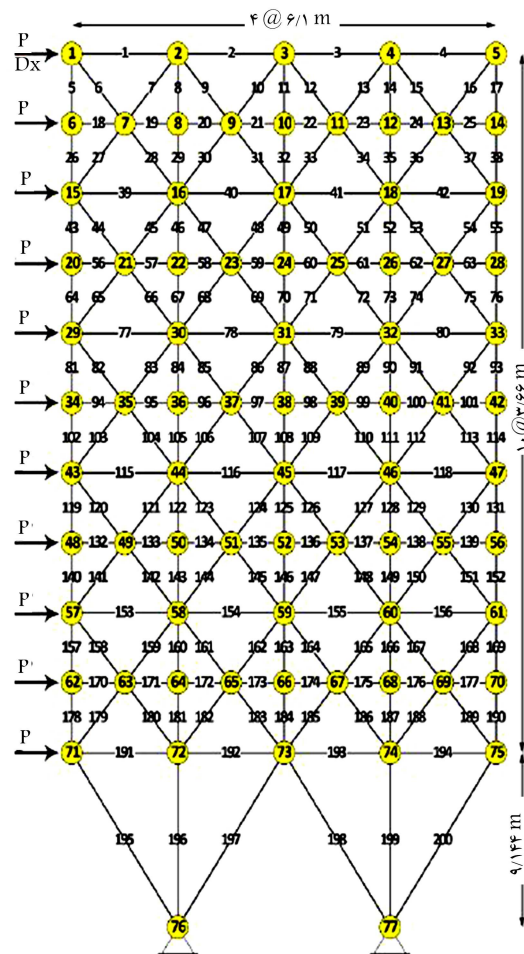
در شکل ۶، قاب تاگل، [۲۱] با ۲۰۰ عضو، ۲۱ گره و ۵۷ درجه‌ی آزادی مشاهده می‌شود. در قاب مذکور، ضریب کشسانی، سطح مقطع و ممان اینرسی همه‌ی عضوها به ترتیب: ۷۱ گیگاپاسکال،  $10^{-4} \times 10^{12}$  مترمربع و  $374/61 \times 10^{-12}$  هستند. شکل ۷، نشان‌دهنده‌ی مسیر ایستایی بار تغییر مکان بالای قاب در راستای

جدول ۴. شمار تکرارهای همگرایی و زمان تحلیل در خرپای ۷۷ گرهی مسطح.

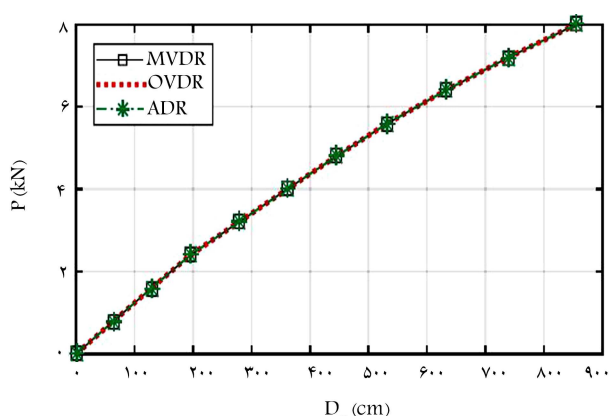
زمان (ثانیه)	مجموع تکرارها	گام پارگذاری										روش
		۱۰	۹	۸	۷	۶	۵	۴	۳	۲	۱	
۲۴/۱۷	۲۳۶۶	۴۶۵	۴۴۷	۳۹۱	۳۲۲	۲۱۷	۲۲۲	۳۶۴	۲۳۴	۲۲۲	۲۶۲	MVDR
۲۳/۴۶	۲۳۷۲	۴۶۵	۴۴۷	۳۹۲	۳۲۲	۲۱۸	۲۲۲	۳۶۵	۲۲۴	۲۲۳	۲۶۳	OVDR
۱۹/۵۴	۲۲۶۷	۲۵۵	۲۵۸	۲۴۱	۲۰۸	۲۰۰	۲۰۴	۲۶۰	۱۶۸	۱۸۲	۲۹۱	ADR



شکل ۱۰. شبکه‌ی دو لایه.



شکل ۸. خرپای ۷۷ گرهی مسطح.



شکل ۹. مسیر ایستایی بار - تغییرمکان خرپای ۷۷ گرهی مسطح.

نتایج جدول ۵ نشان می‌دهند تعداد تکرارهای همگرایی در روش پیشنهادی (ADR) نسبت به روش‌های OVDR و MVDR به ترتیب: ۱۳/۲۴، ۶۹٪ و ۶۶٪ کاهش یافته است. همچنین، زمان تحلیل در الگوریتم درون‌یابی لاگرانژ (ADR) نسبت به شیوه‌های OVDR و MVDR به ترتیب: ۱۴/۲۴ و ۱۷/۹۳ ثانیه کمتر شده است. بنابراین، روش پیشنهادی عملکردی مناسب در افزایش نرخ همگرایی فرایند رهایی پویا دارد.

باشد افزود، یکسان بودن نتایج باز - تغییرمکان هر سازه با روش‌های مختلف،

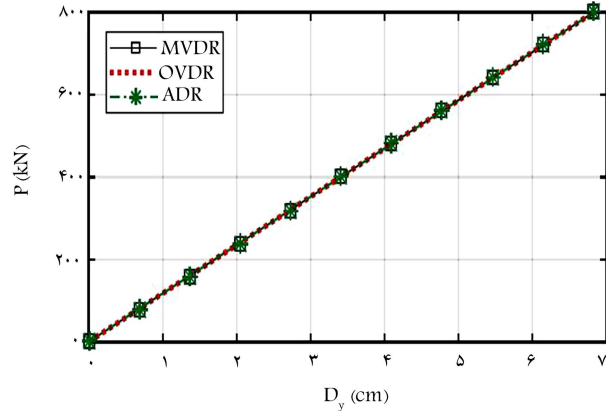
جدول ۵. شمار تکرارهای همگرایی و زمان تحلیل در شبکه‌ی دو لایه.

زمان (ثانیه)	مجموع تکرارها	گام بارگذاری										روش
		۱۰	۹	۸	۷	۶	۵	۴	۳	۲	۱	
۷,۵۱	۸۰۰	۷۹	۷۹	۷۹	۷۹	۷۹	۷۹	۷۹	۷۹	۸۰	۸۸	MVDR
۷,۱۹	۸۰۶	۸۰	۸۰	۸۰	۷۹	۷۹	۷۹	۷۹	۸۰	۸۱	۸۹	OVDR
۶,۱۷	۶۰۷	۷۲	۷۱	۵۷	۵۷	۵۷	۵۷	۵۸	۵۹	۶۱	۵۸	ADR

برای دست‌یابی به پاسخ یگانه، در روش‌های مختلف، متفاوت است. در مقایسه با دیگر شیوه‌ها، روش پیشنهادی توانسته است پاسخ استاتیکی را با تعداد تکرار کمتر ارائه دهد. این موضوع سبب کاهش زمان محاسبه‌ها شده است.

## ۵. نتیجه‌گیری

در نوشتار حاضر، رابطه‌سازی رهایی پویای جنبشی با استفاده از درون‌یابی لاگرانژ ارائه شده است. این نگرش پایه‌گذار رابطه‌های نوینی برای تکرارهای رهایی پویا شده است. همچنین، الگوریتم حل جدیدی با کمک روش تکرارهای توانی و ترکیب آن با رابطه‌های درون‌یابی لاگرانژ پیشنهاد شده است. نمونه‌های عددی از نوع تحلیل‌های غیرخطی، برای راستی‌آزمایی روش پیشنهادی و مقایسه‌ی عملکرد آن از نظر تعداد تکرارها و زمان محاسبه‌ها به کار رفته‌اند. بر پایه‌ی نتایج عددی، تعداد تکرارها و زمان تحلیل در روش پیشنهادی ADR نسبت به شیوه‌های متداول MVDR و OVDR کاهش چشمگیری یافته‌اند. بنابراین، استفاده از درون‌یابی لاگرانژ و ترکیب آن با فرایند تکرارهای توانی، عملکرد روش رهایی پویای جنبشی را بهبود می‌بخشد.



شکل ۱۱. نمودار بار - تغییر مکان گره مرکزی شبکه‌ی دو لایه.

نشانه‌ی درستی محاسبات و اعتبار آنهاست؛ زیرا پاسخ استاتیکی هر سازه به بار اعمالی مشخص، یگانه است. از این رو، همه‌ی شیوه‌ها توانسته‌اند پاسخ استاتیکی را با دقیقی مناسب ارائه دهند. با وجود این، تعداد تکرارهای همگرایی و زمان محاسبات

## پانوشت‌ها

1. Newton-Raphson method
2. viscous DR
3. kinetic DR
4. potential energy
5. kinetic energy
6. restart
7. Frankel
8. Otter
9. form-finding
10. Rombouts
11. Lanczos algorithm
12. overflow
13. Lagrangian interpolation
14. shifted power iteration method
15. MATLAB

## منابع (References)

1. Alamatian, J. "A new formulation for fictitious mass of the dynamic relaxation method with kinetic damping",

*Computers & Structures*, **90-91**, pp. 42-54 (2012).

2. Frankel, S.P. "Convergence rates of iterative treatments of partial differential equations", *Mathematical Tables and Other Aids to Computation*, **4**(30), pp. 65-75 (1950).
3. Otter, J. "Computations for prestressed concrete reactor pressure vessels using dynamic relaxation", *Nuclear Structural Engineering*, **1**(1), pp. 61-75 (1965).
4. Day, A. "Analysis of plates by dynamic relaxation with special reference to boundary conditions", *In Int. Symp. Use of Elect. Digital Computers in Struct. Engng.*, University of Newcastle-upon-Tyne (1966).
5. Day, A. and Bunce, J. "The analysis of hanging roofs", *Arup Journal*, **3**, pp. 30-31 (1969).
6. Rushton, K. "Dynamic-relaxation solutions of elastic-plate problems", *Journal of Strain Analysis*, **3**(1), pp. 23-32 (1968).
7. Rushton, K. "Buckling of laterally loaded plates having initial curvature", *International Journal of Mechanical Sciences*, **14**(10), pp. 667-680 (1972).
8. Cundall, P. "Explicit finite difference method in geomechanics", *In Second Int. Conf. Numerical Methods in Geomechanics*, Blacksburg, **1**, pp. 132-150 (1976).

9. Papadrakakis, M. "A method for the automatic evaluation of the dynamic relaxation parameters", *Computer methods in applied mechanics and engineering*, **25**(1), pp. 35-48 (1981).
10. Rezaiee-Pajand, M., Kadkhodayan, M. and Alamatian, J. "Timestep selection for dynamic relaxation method", *Mechanics Based Design of Structures and Machines*, **40**(1), pp. 42-72 (2012).
11. Naicu, D.I. "The use of dynamic relaxation to solve the differential equation describing the shape of the tallest possible building", In *Textiles composites and inflatable structures VII: proceedings of the VII International Conference on Textile Composites and Inflatable Structures, Barcelona, Spain*, CIMNE, pp. 34-45 (19-21 Oct., 2015).
12. Rezaiee-Pajand, M. and Estiri, H. "A comparison of large deflection analysis of bending plates by dynamic relaxation", *Periodica Polytechnica. Civil Engineering*, **60**(4), p. 619 (2016).
13. Rezaiee-Pajand, M. and Rezaee, H. "Fictitious time step for the kinetic dynamic relaxation method", *Mechanics of Advanced Materials and Structures*, **21**(8), pp. 631-644 (2014).
14. Namadchi, A.H. and Alamatian, J. "Explicit dynamic analysis using dynamic relaxation method", *Computers & Structures*, **175**, pp. 91-99 (2016).
15. Alamatian, J. and Hosseini-Nejad Goshik, M. "An efficient explicit framework for determining the lowest structural buckling load using dynamic relaxation method", *Mechanics Based Design of Structures and Machines*, **45**(4), pp. 451-462 (2017).
16. Rezaiee-Pajand, M. and Estiri, H. "Mixing dynamic relaxation method with load factor and displacement increments", *Computers & Structures*, **168**, pp. 78-91 (2016).
17. Rezaiee-Pajand, M. and Sarafrazi, S.R. "Nonlinear dynamic structural analysis using dynamic relaxation with zero damping", *Computers & Structures*, **89**(13-14), pp. 1274-1285 (2011).
18. Liew, A., VanMele, T. and Block, P. "Vectorised graphics processing unit accelerated dynamic relaxation for bar and beam elements", *Structures*, **8**, Elsevier, pp. 111-120 (2016).
19. Rombouts, J., Lombaert, G., Laet, L.D. and et al. "On the equivalence of dynamic relaxation and the newton-raphson method: application to the design and analysis of bending-active structures", In *Proceedings of IASS Annual Symposia, 2017(16), International Association for Shell and Spatial Structures (IASS)*, pp. 1-10 (2017).
20. Ali, N.B.H., Sychterz, A.C. and Smith, I.F. "A dynamic relaxation formulation for analysis of cable structures with sliding-induced friction", *International Journal of Solids and Structures*, **126**, pp. 240-251 (2017).
21. Namadchi, A.H. and Alamatian, J. "Dynamic relaxation method based on Lanczos algorithm", *International Journal for Numerical Methods in Engineering*, **112**(10), pp. 1473-1492 (2017).
22. Rezaiee-Pajand, M. and Mohammadi-Khatami, M. "A fast and accurate dynamic relaxation scheme", *Frontiers of Structural and Civil Engineering*, **13**(1), pp. 176-189 (2019).
23. Jung, S., Kim, T.-Y. and Yoo, W.-S. "Dynamic relaxation using continuous kinetic damping—part I: basic algorithm", *Journal of Computational and Nonlinear Dynamics*, **13**(8), p. 081006 (2018).
24. Jung, S., Kim, T.-Y. and Yoo, W.-S. "Adaptive step-size control for dynamic relaxation using continuous kinetic damping", *Mathematical Problems in Engineering*, **28**, pp.1-10 (2018).
25. Meirovitch, L. "Computational methods in structural dynamics", *Springer Science & Business Media* (1980).
26. Rezaiee-Pajand, M. and Alamatian, J. "The dynamic relaxation method using new formulation for fictitious mass and damping", *Structural engineering & mechanics*, **11**(1), p. 109 (2010).
27. Wen, W., Wei, K., Lei, H. and et al. "A novel sub-step composite implicit time integration scheme for structural dynamics", *Computers & Structures*, **182**, pp. 176-186 (2017).
28. Greco, M., Gesualdo, F.A.R., Venturini, W.S. and et al. "Nonlinear positional formulation for space truss analysis", *Finite Elements In Analysis And Design*, **42**(12), pp. 1079-1086 (2006).
29. Wood, R.D. and Zienkiewicz, O. "Geometrically nonlinear finite element analysis of beams, frames, arches and axisymmetric shells", *Computers & Structures*, **7**(6), pp. 725-735 (1977).
30. Namadchi, A.H., Fattah, F. and Alamatian, J. "Semi-explicit unconditionally stable time integration for dynamic analysis based on composite scheme", *Journal of Engineering Mechanics*, **143**(10), p. 04017119 (2017).
31. Kaveh, A. and Ghazaan, M.I. "Hybridized optimization algorithms for design of trusses with multiple natural frequency constraints", *Advances in Engineering Software*, **79**, pp. 137-147 (2015).
32. Ramalingam, R. and Jayachandran, S.A. "Post buckling behavior of flexibly connected single layer steel domes", *Journal of Constructional Steel Research*, **114**, pp. 136-145 (2015).